

УДК 681.3

Г.И. Грездов, д-р техн. наук, проф.,

Т.К. Филиппенко, канд. техн. наук, ст. науч. сотр.  
Институт проблем моделирования в энергетике  
им. Г.Е.Пухова НАН Украины, г. Киев

## Аналитические способы построения траектории сварки различных поверхностей

*Рассматриваются способы построения траектории сварки различных поверхностей. Предложен алгоритм для построения траекторий сварки поверхностей тел, представленных в неявной или параметрической форме.*

**Ключевые слова:** траектория сварки, линии пересечений, сеточная модель.

### Введение

При построении аналитических моделей создания траекторий сварки различных поверхностей будем рассматривать два варианта сварки.

Первый случай – траектория сварки находится на основном теле при пересечении его поверхностью сварки.

Второй случай – свариваются два или более тел. Траектория сварки проходит по линии пересечения тел, сварочная площадка представляет собой ребро с примыкающими к ним площадками свариваемых тел. Здесь тела предварительно отсечены: находится линия пересечения одного тела поверхностью другого и наоборот, внутренние части пересечений удаляются.

### Построение траекторий сварки различных поверхностей

Используемые здесь поверхности тел и сварки могут быть представлены в неявной или параметрической форме.

Трехмерная поверхность основного тела задана в неявной форме уравнением:

$$F(x, y, z) = 0$$

или в параметрической форме системой уравнений:

$$\{x, y, z\} = \{F_x(d, g), F_y(d, g), F_z(d, g)\}.$$

Здесь  $x, y, z$  – координаты текущей точки на поверхности, а  $d$  и  $g$  – параметры,  $F, F_x, F_y, F_z$  – заданные функции трех и двух переменных.

Трехмерная поверхность сварки (в первом случае) или второго свариваемого тела задана либо в неявной форме уравнением [1]:

$$W(x, y, z) = 0.$$

либо в параметрической форме системой уравнений

$$\{x, y, z\} = \{W_x(d, g), W_y(d, g), W_z(d, g)\}.$$

Линия шва, как в первом, так и во втором случае находится на линии пересечения основной

поверхности и поверхности сварки или второго свариваемого тела. Линия пересечения определяется как решение совместных систем для пересекающихся поверхностей.

Если обе поверхности представлены в неявной форме, такой системой является:

$$\begin{aligned} F(x_c, y_c, z_c) &= 0; \\ W(x_c, y_c, z_c) &= 0. \end{aligned} \quad (In)$$

где  $x_c, y_c, z_c$  – компоненты радиус-вектора линии пересечения, что соответствует неявной форме задания линии.

Если обе поверхности представлены в параметрической форме, такой системой является

$$\begin{aligned} F_x(d_F, g_F) &= W_x(d_W, g_W); \\ F_y(d_F, g_F) &= W_y(d_W, g_W); \\ F_z(d_F, g_F) &= W_z(d_W, g_W); \end{aligned}$$

где  $d_F, g_F$  – значения параметров поверхности  $F$  на линии пересечения,  $d_W, g_W$  – значения параметров поверхности  $W$  на линии пересечения. Здесь на четыре параметра поверхностей наложено три ограничения, поэтому, когда поверхности пересекаются, все четыре параметра могут быть представлены зависящими от некоторого одного параметра  $\zeta$ , которым может быть один из этих параметров. Подстановка этих зависимостей параметров в параметрическое выражение для поверхности даст линию пересечения. Пусть получены зависимости какой-либо пары, для определенности  $d_F, g_F$  от одного параметра  $\zeta$ , тогда линией пересечения является:

$$\begin{aligned} \{x_c, y_c, z_c\} &= \\ &= \{F_x(d_F(\zeta), g_F(\zeta)), F_y(d_F(\zeta), g_F(\zeta)), \\ &F_z(d_F(\zeta), g_F(\zeta))\} = \\ &= \{C_x(\zeta), C_y(\zeta), C_z(\zeta)\}; \end{aligned}$$

Линия пересечения чаще всего является осевой линией, определяющей положение основных сварочных элементов, к которым относятся канавка шва, сам шов, сварочная площадка и т.п. Линия пересечения является основой для построения подвижного трехгранника, определяющего положение системы координат в текущей точке сварки. Подвижной трехгранник для текущей точки на линии пересечения определяется следующим образом.

Начало системы координат  $O_c$  совпадает с координатами текущей точки  $\{x_c, y_c, z_c\}$ .

Ось  $O_c x$  направлена по касательной к линии пересечения:

$$\frac{x - x_c}{l_\tau} = \frac{y - y_c}{m_\tau} = \frac{z - z_c}{n_\tau},$$

где  $\{l_\tau, m_\tau, n_\tau\}$  – касательный орт, определяемый как:

при неявном задании поверхностей:

$$\{l, m, n\} = \left\{ \begin{array}{c} \frac{\partial F}{\partial y} \quad \frac{\partial F}{\partial z} \\ \frac{\partial W}{\partial y} \quad \frac{\partial W}{\partial z} \end{array} \middle| \frac{\partial F}{\partial z} \quad \frac{\partial F}{\partial x} \\ \frac{\partial W}{\partial z} \quad \frac{\partial W}{\partial x} \right\},$$

при задании поверхностей в параметрической форме:

$$\{l, m, n\} = \left\{ \frac{dC_x}{d\zeta}, \frac{dC_y}{d\zeta}, \frac{dC_z}{d\zeta} \right\}.$$

Параметры орта одинаково нормируются

$$\{l_c, m_c, n_c\} = \{l, m, n\} / \sqrt{l^2 + m^2 + n^2}, \quad (2)$$

где  $\{l_c, m_c, n_c\}$  – искомый касательный орт, который используется как ось  $ox$  сопутствующего трехгранника.

Способы нахождения остальных координатных осей подвижного трехгранника определяют два его типа: сопровождающий и сопутствующий трехгранники.

Сопровождающий трехгранник в качестве второй оси использует бинормаль к линии пересечения. Пара осей – касательная и бинормаль – дополняются третьей осью, называемой главной нормалью, до правой системы координат.

Сопутствующий трехгранник в качестве второй оси использует комбинацию нормалей к свариваемым поверхностям, первая и вторая оси, как и в предыдущем случае, дополняются третьей осью до правой системы координат.

Для сопутствующего трехгранника вторая ось находится по-разному для первого и второго случаев сваривания.

В первом случае, когда траектория сварки находится на основном теле при пересечении его поверхностью сварки, вторая ось направлена по нормали к основной поверхности  $F$  в текущей точке:

$$l_F(x - x_W) + m_F(y - y_W) + n_F(z - z_W) = 0;$$

параметры уравнения  $l_F, m_F, n_F$  находятся следующим образом. Сперва определяются их ненормированные значения:

– при неявном задании поверхности:

$$\{l, m, n\} = \left\{ \frac{\partial F}{\partial x}, \frac{\partial F}{\partial y}, \frac{\partial F}{\partial z} \right\}, \quad (1n)$$

при параметрическом задании поверхности:

$$\{l, m, n\} = \left\{ \begin{array}{c} \frac{\partial F_y}{\partial d} \quad \frac{\partial F_z}{\partial d} \\ \frac{\partial F_y}{\partial g} \quad \frac{\partial F_z}{\partial g} \end{array} \middle| \frac{\partial F_z}{\partial d} \quad \frac{\partial F_x}{\partial d} \\ \frac{\partial F_z}{\partial g} \quad \frac{\partial F_x}{\partial g} \right\}.$$

Параметры орта нормируются аналогично (2):

$$\{l_F, m_F, n_F\} = \{l, m, n\} / \sqrt{l^2 + m^2 + n^2}, \quad (3)$$

где  $\{l_F, m_F, n_F\}$  – нормальный орт поверхности  $F$ .

Во втором случае, когда свариваются два тела, вторая ось, являющаяся нормалью к сварочной площадке, может занимать любое положение между нормалью к поверхностям  $F$  и  $W$  в зависимости от того, с каким весом  $\lambda \in [0, 1]$  их нормали участвуют в формировании нормали сварочной площадки:

$$\{l_n, m_n, n_n\} = \lambda \{l_F, m_F, n_F\} + (1 - \lambda) \{l_W, m_W, n_W\};$$

При  $\lambda=1$  поверхность  $F$  считается основной и нормаль к сварочной площадке совпадает с ее нормалью, при  $\lambda=0$  основной считается поверхность  $W$ , а при  $\lambda=0.5$  они обе равноправны и нормаль к сварочной площадке направлена по биссектрисе угла между их нормалью. При промежуточных значениях нормаль к сварочной площадке должна быть пронормирована.

Третья ось сопутствующего трехгранника находится по полученным двум как дополнение к правой системе координат.

Таким образом, сопутствующая однородная матрица для линии шва имеет вид:

$$T_C = \begin{vmatrix} l_\tau & l_n & m_\tau n_n - m_n n_\tau & x_c \\ m_\tau & m_n & l_\tau n_n - l_n n_\tau & y_c \\ n_\tau & n_n & m_\tau l_n - m_n l_\tau & z_c \\ 0 & 0 & 0 & 1 \end{vmatrix}$$

Движение по траектории сварки с заданным модулем скорости  $v$  описывается дифференциальным уравнением:

$$\left\{ \frac{dx_c}{dt}, \frac{dy_c}{dt}, \frac{dz_c}{dt} \right\} = v \cdot \{l_\tau, m_\tau, n_\tau\}, \{x_c(t_0), y_c(t_0), z_c(t_0)\} = \{x_{c0}, y_{c0}, z_{c0}\},$$

где модуль скорости может быть функцией времени  $v=v(t)$ .

Если получено выражение для сварочного шва в параметрической форме, то задача движения по сварочному шву с заданным модулем скорости может быть представлена в виде:

$$\sqrt{\left(\frac{dx_c}{dt}\right)^2 + \left(\frac{dy_c}{dt}\right)^2 + \left(\frac{dz_c}{dt}\right)^2} = v,$$

подставив сюда производные по времени от координат, выраженные через производную по времени от параметра  $\zeta$ , получим:

$$\frac{d\zeta}{dt} = v / \sqrt{C_{x\zeta}^2 + C_{y\zeta}^2 + C_{z\zeta}^2}.$$

Таким образом, для задачи с уравнением шва, представленным в параметрической форме, система уравнений, описывающая движение по шву с заданной скоростью, имеет вид:

$$\{x_c, y_c, z_c\} = (C_x(\zeta), C_y(\zeta), C_z(\zeta));$$

$$\frac{d\zeta}{dt} = v / \sqrt{C_{x\zeta}^2 + C_{y\zeta}^2 + C_{z\zeta}^2};$$

$$\zeta(t_0) = \zeta_0;$$

### Программные реализации предложенных моделей

Приводимые ниже программы реализуются в среде Mathematica® [2] автоматизировано с участием оператора. Поскольку реализация условий связана с символьными преобразованиями, часто система Mathematica® не может выполнить упрощение формул до желаемого вида, в этом случае используется участие оператора.

Задание условий задачи состоит в конкретизации вида параметрической формы поверхностей  $\{W_X, W_Y, W_Z\}$  и  $\{F_X, F_Y, F_Z\}$ , которые

используются в подпрограмме, имеющей на языке системы Mathematica® следующий вид:

$$\begin{aligned} Lw &= Cross[\partial_{dw}\{W_X, W_Y, W_Z\}, \\ &\partial_{gw}\{W_X, W_Y, W_Z\}]; \\ Lf &= Cross[\partial_{df}\{F_X, F_Y, F_Z\}, \\ &\partial_{gf}\{F_X, F_Y, F_Z\}]; \\ SOLVE[ & \\ &\{x_n W, y_n W, z_n W\} == L_w, \\ &\{x_n F, y_n F, z_n F\} == L_f, \\ &\{x_c, y_c, z_c\} == \{F_x, F_y, F_z\}, \\ &\{W_x, W_y, W_z\} == \{F_x, F_y, F_z\}, \\ &\{x_n W, y_n W, z_n W, x_n F, y_n F, \\ &z_n F, x_c, y_c, z_c, d_f, d_w, g_w\} \end{aligned} \quad (III)$$

Эта программа используется для отыскания на линии пересечения зависимостей от параметра  $d_f$

нормали  $\{x_n W, y_n W, z_n W\}$  к поверхности  $W$ ;

нормали  $\{x_n F, y_n F, z_n F\}$  к поверхности  $F$ ;

координат точки на линии пересечения  $\{x_c, y_c, z_c\}$ ;

параметров  $d_w, g_w, g_f$ .

Доработанные оператором результаты в дальнейшем используются для вычисления длины и орта касательной к линии пересечения с помощью других программ. Программа на языке системы Mathematica® для отыскания длины касательного вектора к линии пересечения  $L\tau$  и его орта  $\{x_\tau, y_\tau, z_\tau\}$  имеет следующий вид:

$$\{x_\tau, y_\tau, z_\tau\} = \partial_{df}\{x_c, y_c, z_c\};$$

$$L_\tau = \sqrt{x_\tau^2 + y_\tau^2 + z_\tau^2};$$

$$\{x_\tau, y_\tau, z_\tau\} = \{x_c, y_c, z_c\} / L_\tau;$$

Программа на языке системы Mathematica® для отыскания нормальных ортов к поверхности  $W$  и  $F$  имеет следующий вид:

$$\{x_n W, y_n W, z_n W\} = 1 / \sqrt{x_n W^2 + y_n W^2 + z_n W^2} \times \{x_n W, y_n W, z_n W\};$$

$$\{x_n F, y_n F, z_n F\} = 1 / \sqrt{x_n F^2 + y_n F^2 + z_n F^2} \times \{x_n F, y_n F, z_n F\};$$

Полученные программой и доработанные оператором результаты вместе с ранее вычисленными составляют основу построения моделей кинематики сварки. Описанная система программ используется для вычислений в модели мониторинга таких составляющих:

- линии пересечения;
- длины и орта касательного вектора;
- элементов сопровождающего трехгранника;
- элементов сопутствующего трехгранника.

Ниже приводятся несколько примеров вычислений составляющих модели.

### Пример 1. Винтовая линия на цилиндре

Данный пример касается получения трубы из полосы, свернутой в виде геликоида и сваренной по линии стыка краев полосы [3].

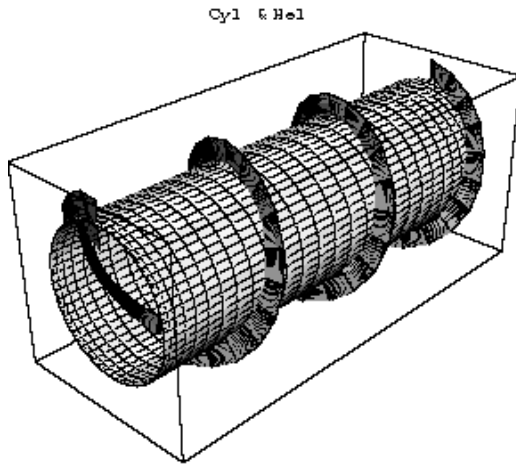


Рисунок 1 – Винтовая линия на цилиндре

Основная труба, являющаяся круговым цилиндром радиуса  $R$ , пересекается с прямым геликоидом, имеющим шаг  $h$ , оси трубы и геликоида совпадают и направлены по оси  $Oz$ . Рассматривается случай задания обеих поверхностей в параметрической форме. Здесь используются обозначения для координат точек на поверхности геликоида  $\{x_M, y_M, z_M\}$  и трубы  $\{x_S, y_S, z_S\}$ .

Поверхности описываются уравнениями:

$$\begin{aligned} \{x_M, y_M, z_M\} &= \{W_X, W_Y, W_Z\} = \\ &= \{(R + g_w) \cos d_w, (R + g_w) \sin d_w, h \cdot d_w\}; \\ \{x_S, y_S, z_S\} &= \{F_X, F_Y, F_Z\} = \\ &= \{R \sin d_f, R \cos d_f, g_f\}. \end{aligned}$$

Результаты решения, полученные программой (П1) и доработанные оператором, имеют вид:

$$\begin{aligned} (x_n F, y_n F, z_n F) &= \{R \cos(df), R \sin(df), 0\}; \\ (x_c, y_c, z_c) &= \{R \cos(df), R \sin(df), h df\}; \end{aligned}$$

Результаты решения, полученные программой (П2) и доработанные оператором, имеют вид:

$$(x_t, y_t, z_t) = \left\{ -\frac{R \sin(dt)}{\sqrt{h^2 + R^2}}, \frac{R \cos(dt)}{\sqrt{h^2 + R^2}}, \frac{h}{\sqrt{h^2 + R^2}} \right\};$$

Результаты решения, полученные программой (П3) и доработанные оператором, имеют вид:

$$\begin{aligned} (x_n F, y_n F, z_n F) &= \{\cos(df), \sin(df), 0\}; \\ (x_n F, y_n F, z_n F) &= \left\{ -\frac{h \sin(df)}{\sqrt{h^2 + R^2}}, \frac{h \cos(df)}{\sqrt{h^2 + R^2}}, \right. \\ &\left. -\frac{R}{\sqrt{h^2 + R^2}} \right\}; \end{aligned}$$

Сопровождающий и сопутствующий трехгранники для этого примера совпадают.

Ориентация системы координат линии пересечения относительно системы координат исходных поверхностей выражается однородной матрицей:

$$P = \begin{pmatrix} p_{11} & p_{12} & p_{13} & p_{14} \\ p_{21} & p_{22} & p_{23} & p_{24} \\ p_{31} & 0 & p_{33} & p_{34} \\ 0 & 0 & 0 & 1 \end{pmatrix},$$

$$p_{11} = -\frac{R \sin dF}{\sqrt{h^2 + R^2}}; p_{12} = \cos dF;$$

$$p_{13} = -\frac{h \sin dF}{\sqrt{h^2 + R^2}}; p_{14} = R \cos dF;$$

$$p_{21} = \frac{R \cos dF}{\sqrt{h^2 + R^2}}; p_{22} = \sin dF;$$

$$p_{23} = \frac{h \cos dF}{\sqrt{h^2 + R^2}}; p_{24} = R \sin dF;$$

$$p_{31} = \frac{h}{\sqrt{h^2 + R^2}}; p_{33} = -\frac{R}{\sqrt{h^2 + R^2}};$$

$$p_{34} = h \cdot dF;$$

Параметр  $dF$  при движении по линии пересечения со скоростью  $v$  станет изменяться по закону:

$$\frac{ddF}{dt} = \frac{v}{\sqrt{h^2 + R^2}}, dF(t_0) = dF_0.$$

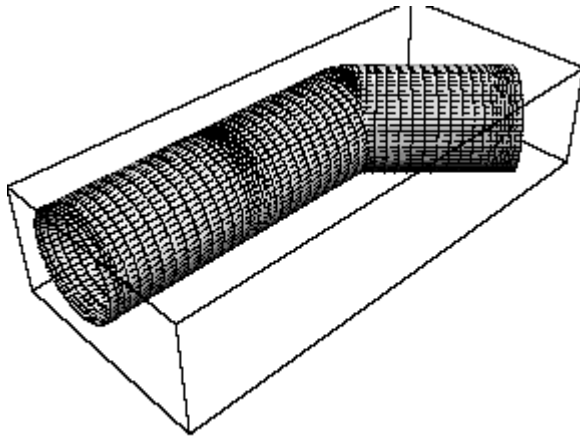
**Пример 2. Колено**

Рисунок 2 – Схема коленного соединения двух поверхностей

Обе трубы являются круговыми цилиндрами радиуса  $R$ . Ось первой трубы совпадает с осью  $Oz$ , а ось второй трубы совпадает с осью  $Oz$ , повернутой вокруг оси  $Oy$  на угол  $\psi$ . Рассматривается задача в двух постановках: поверхности обоих цилиндров заданы сперва в неявной, а затем в параметрической формах. Здесь используются обозначения для координат точек на поверхности первой трубы  $\{x_M, y_M, z_M\}$ , а второй -  $\{x_S, y_S, z_S\}$ .

**Постановка задачи в неявной форме**

Первая и вторая трубы описываются уравнениями:

$$x_M^2 + y_M^2 = R^2;$$

$$(x_S \cos \psi + z_S \sin \psi)^2 + y_S^2 = R^2;$$

Линия их пересечения находится из совместного решения:

$$x_c^2 + y_c^2 = R^2;$$

$$(x_c \cos \psi + z_c \sin \psi)^2 + y_c^2 = R^2;$$

Удобно для отыскания линии пересечения сделать замену  $\{x_c, y_c\} = \{R \sin \zeta, R \cos \zeta\}$ , тогда:

$$z_c = R \cos \zeta (\cos \psi \pm 1) / \sin \psi;$$

и уравнение для линии пересечения с координатами текущей точки  $\{x_c, y_c, z_c\}$  в зависимости от параметра  $\zeta$  представится как:

$$\{x_c, y_c, z_c\} = \{R \sin \zeta, R \cos \zeta, R \cos \zeta (\cos \psi \pm 1) / \sin \psi\}.$$

**Постановка задачи в параметрической форме**

Первая и вторая трубы описываются уравнениями:

$$\begin{aligned} \{x_M, y_M, z_M\} &= \{W_x, W_y, W_z\} = \\ &= \{R \cos d_w \cos \psi + g_w \sin \psi, R \sin d_w, \\ &\quad -R \cos d_w \sin \psi + g_w \cos \psi\}. \\ \{x_S, y_S, z_S\} &= \{F_x, F_y, F_z\} = \\ &= \{g_F, R \sin d_f, R \cos d_f\}. \end{aligned}$$

Результаты решения, полученные программой и доработанные оператором, имеют вид:

первое решение:

$$\begin{aligned} &\{\{x_n W, y_n W, z_n W\}, \{x_n F, y_n F, z_n F\}, \\ &\{x_c, y_c, z_c\}\} = \\ &\{\{R \cos(df) \sin(\psi), R \sin(df), \\ &\quad R \cos(df) \cos(\psi)\}, \\ &\{0, R \sin(df), R \cos(df)\}, \\ &\{R \cos(df) \tan(\psi/2), R \sin(df), \\ &\quad R \cos(df)\}\}; \end{aligned}$$

второе решение:

$$\begin{aligned} &\{\{x_n W, y_n W, z_n W\}, \\ &\{x_n F, y_n F, z_n F\}, \\ &\{-R \cos(df) \cos(\psi/2), \\ &\quad R \sin(df), R \cos(df)\}\}, \\ &\{x_c, y_c, z_c\} = \\ &\{\{R \cos(df) \sin(\psi), -R \sin(df), \\ &\quad R \cos(df) \cos(\psi)\}, \\ &\{0, R \sin(df), R \cos(df)\}, \\ &\{-R \cos(df) \cos(\psi/2), \\ &\quad R \sin(df), R \cos(df)\}\}; \end{aligned}$$

Поскольку полученное здесь выражение для линии пересечения совпадает с таковым для неявного задания, дальнейшие вычисления будут пригодны для обоих способов.

Результаты решения, полученные программами (П2) и (П3) и доработанные оператором, имеют следующий вид.

Первое решение:

$$L_z = R\sqrt{1 + \tan^2(\psi/2) \sin^2(df)};$$

$$(x_\zeta, y_\zeta, z_\zeta) = \frac{R}{L_z} \{-\tan(\psi/2) \sin(df),$$

$$\cos(df), -\sin(df)\};$$

$$(x_n, y_n, z_n) = \{\cos(df) \sin(\psi), 2 \sin(df),$$

$$\cos(df) \left(1 + \frac{\cos(\psi)}{2\sqrt{1 - \cos^2(df) \sin^2(\psi/2)}}\right)\};$$

$$(x_b, y_b, z_b) = \{-\cos(\psi/2), 0, \sin(\psi/2)\};$$

Ориентация системы координат линии пересечения относительно системы координат исходных поверхностей выражается однородной матрицей:

$$P = \begin{pmatrix} p_{11} & p_{12} & p_{13} & p_{14} \\ p_{21} & p_{22} & 0 & p_{24} \\ p_{31} & p_{32} & p_{33} & p_{34} \\ 0 & 0 & 0 & 1 \end{pmatrix},$$

$$p_{11} = -\operatorname{tg}(\psi/2) \sin df / R\tau;$$

$$p_{12} = \cos df \sin \psi / Rn;$$

$$p_{13} = -\cos(\psi/2);$$

$$p_{14} = R \cos df \cdot \operatorname{tg}(\psi/2);$$

$$p_{21} = \cos df / R\tau;$$

$$p_{22} = 2 \sin df / Rn;$$

$$p_{24} = R \sin df;$$

$$p_{31} = -\sin df / R\tau;$$

$$p_{32} = \cos df (1 + \cos \psi) / Rn;$$

$$p_{33} = \sin(\psi/2);$$

$$p_{34} = R \cos df;$$

$$R_\tau = \sqrt{1 + \operatorname{tg}^2(\psi/2) \sin^2 df};$$

$$R_n = 2\sqrt{1 - \sin^2(\psi/2) \cos^2 df}.$$

Сопровождающий триэдр совпадает с сопутствующим триэдром на основе биссектрисы угла между нормальными к поверхностям.

Параметр  $dF$  при движении по линии пересечения со скоростью  $v$  станет изменяться по закону:

$$\frac{ddF}{dt} = \frac{v}{R\sqrt{1 + \operatorname{tg}^2(\psi/2) \sin^2 df}},$$

$$dF(t_0) = dF_0.$$

Второе решение:

$$L_\zeta = R\sqrt{1 + \cot^2(\psi/2) \sin^2(df)};$$

$$(x_\zeta, y_\zeta, z_\zeta) = \frac{R}{L_\zeta} \{\cot(\psi/2) \sin(df),$$

$$\cos(df), -\sin(df)\};$$

$$(x_b, y_b, z_b) = \{-\sin(\psi/2), 0, -\cos(\psi/2)\};$$

Ориентация системы координат линии пересечения относительно системы координат исходных поверхностей выражается однородной матрицей:

$$P = \begin{pmatrix} p_{11} & p_{12} & p_{13} & p_{14} \\ p_{21} & p_{22} & 0 & p_{24} \\ p_{31} & p_{32} & p_{33} & p_{34} \\ 0 & 0 & 0 & 1 \end{pmatrix},$$

$$p_{11} = -\operatorname{ctg}(\psi/2) \sin df / R\tau;$$

$$p_{12} = -\cos df \sin \psi / Rn;$$

$$p_{13} = -\sin(\psi/2);$$

$$p_{14} = -R \cos df \cdot \operatorname{ctg}(\psi/2);$$

$$p_{21} = \cos df / R\tau;$$

$$p_{22} = 2 \sin df / Rn;$$

$$p_{24} = R \sin df;$$

$$p_{31} = -\sin df / R\tau;$$

$$p_{32} = \cos df (1 + \cos \psi) / Rn;$$

$$p_{33} = -\cos(\psi/2);$$

$$p_{34} = R \cos df;$$

$$R_\tau = \sqrt{1 + \operatorname{ctg}^2(\psi/2) \sin^2 df};$$

$$R_n = 2\sqrt{1 - \cos^2(\psi/2) \cos^2 df}.$$

Сопровождающий триэдр совпадает с сопутствующим триэдром на основе биссектрисы угла между нормальными к поверхностям.

Параметр  $dF$  при движении по линии пересечения со скоростью  $v$  станет изменяться по закону:

$$\frac{ddF}{dt} = \frac{v}{R\sqrt{1 + \operatorname{ctg}^2(\psi/2) \sin^2 df}},$$

$$dF(t_0) = dF_0.$$

### Заключение

В результате исследования установлено, что строить траекторию сварки произвольных поверхностей можно различными способами. Предложен алгоритм для построения траектории сварки поверхностей тел, представленных как в неявной, так и в параметрической форме. Рас-

смотрены программные реализации предложенных моделей.

### **Список использованной литературы**

1. Корн Г. Справочник по математике / Г. Корн, Т. Корн. – М.: Наука, 1974. – 832 с.
2. Wolfram S. Mathematica: A System for Doing Mathematics by Computer / S. Wolfram. – Addison-Wesley, 1991. – 962 p.
3. Грездов Г.И. Численное вычисление сеточной модели линии пересечения поверхностей / Г.И. Грездов, Т.К. Филиппенко // Наукові праці ДонНТУ Серія «Інформатика, кібернетика та обчислювальна техніка». – 2011. – Вип. 13 (185). – С. 141-147.

*Надійшла до редколегії 28.02.2012*

#### **Г.І. ГРЕЗДОВ, Т.К. ФІЛІПЕНКО**

Інститут проблем моделювання в енергетиці ім.  
Г.Є.Пухова НАН України

#### **G.I. GHREZDOV, T.K. FILIPPENKO**

Pukhov Institute for Modelling in Energy Engineering

#### **АНАЛІТИЧНІ СПОСОБИ ПОБУДОВИ ТРАЄКТОРІЇ ЗВАРЮВАННЯ РІЗНИХ ПОВЕРХОНЬ**

Розглядаються способи побудови траєкторії зварювання різних поверхонь. Запропоновано алгоритм побудови траєкторій зварювання поверхонь тіл, які представлено в неявному або параметричному вигляді.

**Ключові слова:** траєкторія зварювання, лінії перетину, сіткова модель.

#### **ANALYTICAL WAYS OF CONSTRUCTION OF A TRAJECTORY OF WELDING OF VARIOUS SURFACES**

Ways of construction of a trajectory of welding of various surfaces are considered. The algorithm for surfaces of the bodies presented in the implicit or parametrical form is offered.

**Keywords:** trajectory of welding, line of crossings, net model.